



БИООРГАНИЧЕСКАЯ ХИМИЯ

том 15 * № 11 * 1989

УДК 577.114.5.088.53 : 579.841.11

АНТИГЕННЫЕ ПОЛИСАХАРИДЫ БАКТЕРИЙ

36*. ИССЛЕДОВАНИЕ СТРУКТУРЫ О-СПЕЦИФИЧЕСКОЙ ПОЛИСАХАРИДНОЙ ЦЕПИ ЛИПОПОЛИСАХАРИДА

PSEUDOMONAS FLUORESCENS ИМВ 2763 (БИОВАР G)

**Книрель Ю. А., Здоровенко Г. М.*, Веремейченко С. Н.*,
Шашков А. С., Захарова И. Я.*, Кочетков Н. К.**

Институт органической химии им. Н. Д. Зелинского Академии наук
СССР, Москва;

* Институт микробиологии и вирусологии им. Д. К. Заболотного Академии
наук УССР, Киев

Проведена химическая и серологическая характеристика липополисахарида *Pseudomonas fluorescens* ИМВ 2763, относящегося к биовару G. В составе О-специфической полисахаридной цепи липополисахарида идентифицированы D-манноза, 6-дезокси-L-талоза, N-ацетил-D-галактозамина и О-ацетильные группы в соотношении ~2 : 1 : 1 : 1. Полисахарид является разветвленным и около половины остатков 6-дезокситалозы и монозамещенной маннозы несут О-ацетильные группы. На основании данных метилирования, частичного кислотного гидролиза и анализа методом ^{13}C -ЯМР-спектроскопии найдено, что повторяющееся звено полисахарида имеет следующую структуру:



Pseudomonas fluorescens — по фенотипическим и генотипическим свойствам гетерогенный вид микроорганизмов. В определителе бактерий Берджи [2] он представлен пятью биоварами, таксономический ранг которых до настоящего времени является дискуссионным. Штаммы этого вида известны как случайные возбудители инфекций у растений, а также наряду со штаммами *P. aeruginosa* высеваются из патологического материала в клиниках.

Липополисахариды *P. fluorescens* изучены мало; имеются лишь единичные работы [3–7], в которых определяли их состав и строение. Продолженное нами исследование ставит своей целью химическую и иммунохимическую характеристику липополисахаридов этого вида, что должно способствовать решению вопросов систематики и роли *P. fluorescens* в патогенезе инфекционных заболеваний.

При сравнительном изучении различных биоваров *P. fluorescens* ранее было показано [5, 6], что по составу липополисахаридов в значительной степени обособлен биовар G, включающий в себя бактерии, утратившие ряд характерных для псевдомонад признаков. Данное сообщение посвящено более детальной характеристике липополисахарида этого биовара и установлению строения его О-специфической полисахаридной цепи.

В работе использован штамм ИМВ 2763 биовара G. Препарат липополисахарида, полученный по методу [8], отличался высокой степенью чистоты (выявлено содержание лишь следовых количеств нуклеиновых кислот и белка). Он был активен в серологических реакциях с гомологичной О-антисывороткой, имел титр 1 : 100 000 в реакции кольцепреципитации и давал одну линию в реакции двойной диффузии в агаре.

При деградации липополисахарида разбавленной уксусной кислотой был получен в виде пера растворимого в воде остатка липид A, а из водорастворимой части гель-хроматографией на сефадекс G-50 были выде-

* Сообщение 35 см. [1]. Сокращение: 6dTal — 6-дезокситалоза.

лены О-специфический полисахарид и олигосахаридная фракция, соответствующая кору липополисахарида. Анализ липида А показал присутствие жирных кислот $C_{12:0}$ (38,5%), 3-НОС $_{14:0}$ (62,1%) и 3-НОС $_{15:0}$ (12%). В олигосахаридной фракции, которая была серологически неактивна, обнаружены глюкоза (37,6%), галактоза (19,5%), гентоза (41,8%), глюказамин (14,4%), а также манноза (1,2%) и галактозамин (1%). Такие характерные компоненты липополисахаридов псевдомонад, как рамноза, 2-кето-3-дезоксиоктоновая кислота, аланин и фосфат, ни в коре, ни в исходном липополисахариде идентифицированы не были.

О-Специфический полисахарид характеризовался высокой серологической активностью (титр 1 : 500 000 в реакции коллоидпреципитации). Его основными компонентами являлись манноза (44%), галактозамин (19%) и 6-дезоксигексоза (~20%). Манноза и галактозамин были идентифицированы с помощью углеводного и аминокислотного анализаторов соответственно. 6-Дезоксигексоза была обнаружена с помощью хроматографии на бумаге, углеводного анализатора, ГЖХ-масс-спектрометрии в виде полного ацетата полиола и идентифицирована как 6-дезокситалоза методами ^1H - и ^{13}C -ЯМР-спектроскопии после ее выделения в свободном виде (см. ниже).

В ^{13}C -ЯМР-спектре полисахарида (рис. 1) присутствовало большое число сигналов с различной интегральной интенсивностью, что указывало на отсутствие истинной регулярности. Наличие сигналов О-ацетильных групп (CH_3 при 21,4–21,6 м.д.) позволяло предположить, что нерегулярность связана с нестехиометрическим О-ацетилированием одного или нескольких моносахаридных остатков.

Для подтверждения этого полисахарид был О-дезацетилирован действием водного раствора триэтиламина. Дезацетилированный полисахарид не обладал серологической активностью, что указывало на важную роль О-ацетильных групп в проявлении иммуноспецифичности. ^{13}C -ЯМР-спектр О-дезацетилированного полисахарида (рис. 2) был типичным для регулярного полимера. Он содержал сигналы четырех аномерных атомов углерода в области 95,7–103,0 м.д., метильной группы 6-дезоксисахара при 16,7 м.д., трех гидроксильных групп при 61,9–62,7 м.д., одного атома углерода, связанного с азотом, при 52,2 м.д., 15 атомов углерода, связанных с кислородом, в области 64,7–80,2 м.д., а также одной N-ацетильной группы (CH_3 при 23,6 м.д., CO при 174,9 м.д.). Из этих данных следовало, что О-дезацетилированный полисахарид построен из тетрасахаридных повторяющихся звеньев, включающих в себя два остатка маннозы, один остаток N-ацетилгалактозамина и один остаток 6-дезоксигексозы.

Отсутствие в ^{13}C -ЯМР-спектре О-дезацетилированного полисахарида сигналов в области 82–90 м.д., характерных для фуранозидов [9], свидетельствовало о том, что все моносахаридные остатки находятся в пиранозной форме. Константы спин-спинового взаимодействия $^1J_{\text{C}_1,\text{H}_1}$, определенные из спектра, снятого без подавления C,H-взаимодействий, указывали на то, что три моносахаридных остатка присоединены α -гликозидными связями ($J_{\text{C}_1,\text{H}_1} \sim 170$ Гц для сигналов при 95,7; 98,0 и 103,0 м.д.), а четвертый присоединен β -гликозидной связью ($J_{\text{C}_1,\text{H}_1} \sim 160$ Гц для сигнала при 102,0 м.д.) [10]. Из положения сигнала C2 остатка N-ацетилгалактозамина при 52,2 м.д. следовало, что этот остаток имеет β -конформацию [11], и, таким образом, остатки маннозы и 6-дезокситалозы имеют α -конформацию.

Для определения типов замещения моносахаридов О-дезацетилированный полисахарид был подвернут анализу методом метилирования [12]. В результате методом ГЖХ-масс-спектрометрии в виде ацетатов полиолов [13] были идентифицированы 2,3,4-три-O-метил-6-дезокситалоза, 3,4,6-три-O-метилманноза, 2,6-ди-O-метилманноза и 3,4-ди-O-метил-2-метиламино-2-дезоксигалактоза. Следовательно, полисахарид разветвлен, терминальный моносахарид боковой цепи — остаток 6-дезокситалозы, в узле разветвления лежит остаток маннозы, замещенный в положения 3 и 4, второй остаток маннозы замещен в положение 2, а остаток N-ацетилгалактозамина — в положение 3.

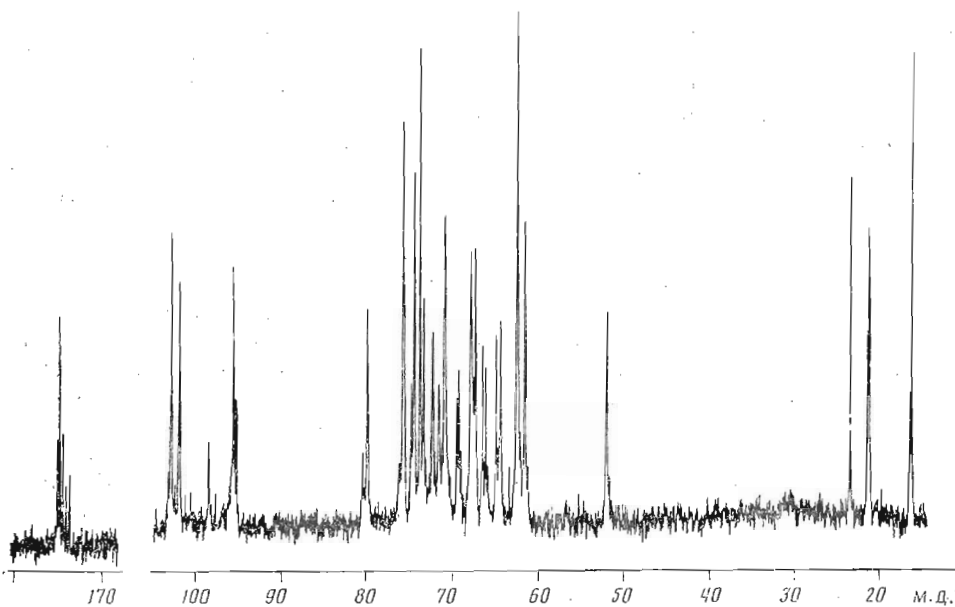


Рис. 1. ^{13}C -ЯМР-спектр О-специфического полисахарида

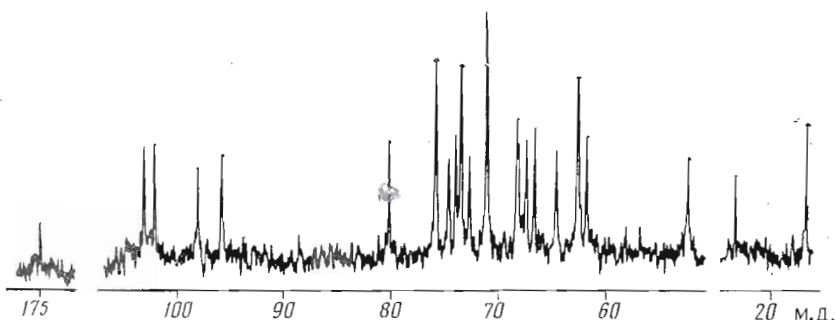


Рис. 2. ^{13}C -ЯМР-спектр О-дезацетилированного полисахарида

Далее О-дезацетилированный полисахарид был подвергнут мягкому кислотному гидролизу разбавленной трифтормукусной кислотой с целью избирательного отщепления остатков 6-дезокситалозы. Было найдено, что в условиях, в которых еще не происходит полной деполимеризации полисахаридной цепи, отщепляется около половины всех остатков 6-дезоксигексозы. Гель-хроматографией продуктов частичного гидролиза на геле TSK HW 40 были получены модифицированный полисахарид, манноза и 6-дезокситалоза.

Относительная конфигурация 6-дезокситалозы была доказана методом ^1H -ЯМР-спектроскопии. В спектре этого моносахарида (табл. 1) присутствовали сигналы четырех форм (α - и β -фuranозных и α - и β -пиранозных при заметном преобладании двух последних форм). Константы спин-спинового взаимодействия вицинальных протонов, определенные для α - и β -пиранозных форм, были близки соответствующим константам в спектре талопиранозы и отличались от данных для других гексоальдошираноз [14, 15], что доказывало тало-конфигурацию выделенной 6-дезоксигексозы. Этот вывод подтверждался данными ^{13}C -ЯМР-спектра этого моносахарида (табл. 2), который был расшифрован путем сравнения с данными для талопиранозы [15]. В этом спектре положения сигналов серии, относящейся к α -пиранозной форме, хорошо совпадали с положениями сигналов 6-дезокси- α -талопиранозы, приведенными в работе [4].

Таблица 1

Данные ^1H -ЯМР-спектра б-дезокситалозы

Форма	Протон	Химический сдвиг, м. д.	Наблюдаемая мультиплетность	КССВ
6dTal α	H1	5,23	д	$J_{1,2}$ 2,3
	H2	3,83	дд	$J_{2,3}$ 3,5
	H3	3,93	т	$J_{3,4}$ 3,5
	H4	3,76	дд	$J_{4,5}$ 1,6
	H5	4,19	дк	$J_{5,6}$ 6,9
	H6 (3H)	1,26	д	
6dTal β	H1	4,79	д	$J_{1,2}$ 1,5
	H2	3,87	дд	$J_{2,3}$ 3,4
	H3	3,77	т	$J_{3,4}$ 3,4
	H4, H5 (2H)	3,66–3,75	м	
	H6 (3H)	1,29	д	$J_{5,6}$ 6,8
6dTal α	H1	5,25	д	$J_{1,2}$ 2,0
	H2	3,99	дд	$J_{2,3}$ 5,0
	H3	4,23	дд	$J_{3,4}$ 6,6
	H4	3,75	дд	$J_{4,5}$ 1,6
	H5	3,87	дк	$J_{5,6}$ 6,6
	H6 (3H)	1,25	д	
6dTal β	H1	5,37	м	
	H2, H3 (2H)	4,08–4,11	м	
	H4	3,88	м	
	H5	?		
	H6 (3H)	1,24	д	$J_{5,6}$ 6,6

Таблица 2

Химические сдвиги в ^{13}C -ЯМР-спектрах

Остаток моносахарида	C1	C2	C3	C4	C5	C6
б-Дезокситалоза						
6dTal α	95,4	71,2	66,3	73,0	67,7	16,5
6dTal β	94,7	72,0 *	69,6	71,8 *	72,0 *	16,4
6dTal α	101,6	76,3	72,0 *	88,6	69,6	18,7
6dTal β	97,0	71,8 *	71,8 *	87,0	68,0	19,2
О-Дезацетилированный полисахарид **						
6dTal α	98,0	71,2	66,8	73,6	67,5	16,7
-2Man α	95,7	80,2	71,2	68,4	74,1	62,7
(96,3)	79,7		71,5	68,2	74,2	62,3)
-3GalNAc β	102,0	52,2	75,9	64,7	75,9	61,9
-3,4Man α	103,0 (103,4)	(52,0) 68,3	76,5 74,7	65,4 73,6	76,4 72,8	62,2) 62,7

* Отнесение может быть обратным.

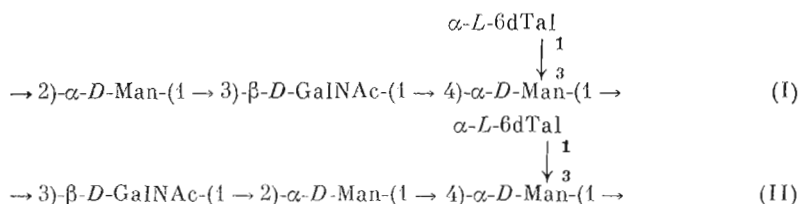
** В скобках приведены расчетные данные для структуры (I).

На основании направления оптического вращения было найдено, что б-дезокситалоза имеет *L*-конфигурацию, а манноза — *D*-конфигурацию (абсолютные величины удельного оптического вращения обоих выделенных моносахаридов были ниже по сравнению с соответствующими литературными данными, и их абсолютные конфигурации были независимо подтверждены путем анализа ^{13}C -ЯМР-спектра полисахарида и расчётом удельного оптического вращения полисахарида по правилу Кляйна; таким же путем была установлена абсолютная конфигурация N-ацетилглактозамина, см. ниже).

Анализ методом метилирования модифицированного при частичном гидролизе полисахарида привел к получению в дополнение к частично метилированным моносахаридам, идентифицированным при анализе О-дезацетилированного полисахарида (см. выше), также 2,3,6-три-О-метилман-

позы, соответствующей моносахаридному остатку в основной цепи, с которого были удалены остатки 6-дезокситалозы. Следовательно, остатки 6-дезокситалозы присоединяются непосредственно к основной цепи полисахарида в положение 3 остатка маннозы, лежащего в узле разветвления и замещенного в основной цепи в положение 4.

Полученным данным удовлетворяли две возможные структуры (I) и (II) О-дезацетилированного полисахарида, отличающиеся друг от друга последовательностью остатков маннозы и N-ацетилгалактозамина. Для выбора между этими двумя структурами был осуществлен расчет по методу [16] химических сдвигов ^{13}C линейного дисахаридного участка основной цепи структур (I) и (II), содержащего оба эти моносахарида. В расчет был включен сигнал C1 дизамещенного остатка маннозы, но исключен сигнал C1 моносахарида, гликозилирующего этот дизамещенный остаток (N-ацетилгалактозамина в структуре (I) или маннозы в структуре (II)), так как вследствие разветвленности структуры для этого сигнала могут наблюдаться значительные отклонения рассчитанных химических сдвигов от экспериментальных.



Сравнение рассчитанных химических сдвигов с данными ^{13}C -ЯМР-спектра О-дезацетилированного полисахарида (табл. 2) показало, что в спектре присутствуют сигналы, химические сдвиги которых близки к рассчитанным для каждого из сигналов углеродных атомов линейного дисахаридного фрагмента структуры (I): сумма квадратичных отклонений рассчитанных химических сдвигов от ближайших к ним химических сдвигов в экспериментальном спектре составляла 2,3, т. е. в среднем $\sim 0,2$ для каждого сигнала. В то же время в случае структуры (II) такого соответствия не наблюдалось: сумма квадратичных отклонений составляла 11, т. е. ~ 1 для каждого сигнала. Из этих данных следовало, что экспериментальному спектру удовлетворяет только первая из двух возможных структур, и, таким образом, О-дезацетилированный полисахарид имеет структуру (I).

При расчете принималось, что остатки маннозы и N-ацетилгалактозамина имеют D-конфигурацию. Легко убедиться в том, что в предположении другой конфигурации одного из моносахаридов расчетные химические сдвиги будут значительно отклоняться от экспериментальных. Так, в дисахаридном фрагменте $\alpha\text{-}D\text{-Man}\text{-(1}\rightarrow 3)\text{-}\beta\text{-}D\text{-GalNAc}$, присущему как в структуре (I), так и в структуре (II), C1 остатка маннозы и C4 остатка N-ацетилгалактозамина должны резонировать вблизи 96 и 65 м.д. соответственно [16, 17], что и наблюдается в экспериментальном спектре. При различной абсолютной конфигурации маннозы и N-ацетилгалактозамина C1 и C4 резонировали бы вблизи 100 и 69 м.д. соответственно, и присутствие сигналов при 95,7 и 64,7 м.д. в экспериментальном спектре оказалось бы необъяснимым.

Аналогичный анализ эффектов гликозилирования подтвердил различную абсолютную конфигурацию связанных друг с другом остатков 6-дезокситалозы и маннозы. Действительно, в $\alpha 1,3$ -связанных дисахаридах с манно-конфигурацией гликозилируемого моносахарида эффект гликозилирования на C1 гликозилирующего моносахарида составляет 2–4 м.д. при различной абсолютной конфигурации моносахаридных компонентов или 6–8 м.д. при их одинаковой конфигурации [16, 17]. Определенный из спектра О-дезацетилированного полисахарида путем сравнения с данными для 6-дезокситалопиранозы эффект гликозилирования на C1 остатка 6-дезокситалопиранозы составляет 2,6 м.д., что указывает на различную абсолютную конфигурацию моносахаридов, составляющих дисахаридный

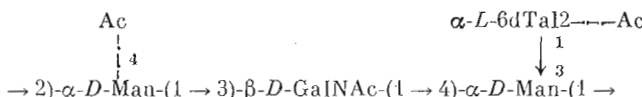
фрагмент α -L-6dTal-(1 \rightarrow 3)- α -D-Man, т. е. на L-конфигурацию 6-дезокситалозы*.

Абсолютные конфигурации моносахаридов подтверждалась также расчетом удельного оптического вращения О-дезацетилированного полисахарида по правилу Кляйна [48], который приводит к величине $[\alpha]_D +21^\circ$, достаточно близкой к экспериментальной величине $[\alpha]_D +6,1^\circ$, только при D-конфигурации маннозы и N-ацетилгалактозамина и L-конфигурации 6-дезокситалозы.

Положение О-ацетильных групп в исходном полисахариде было определено путем анализа ^{13}C -ЯМР-спектра и его сопоставления со спектром О-дезацетилированного полисахарида. Значительное уменьшение (при мерно вдвое) относительной интенсивности сигнала C1 остатка 6-дезокситалозы при 98,0 м.д. в спектре исходного полисахарида и появление эквивалентного этому уменьшению сигнала при 95,4 м.д. объясняется О-ацетилированием части этих остатков в положение 2, причем степень ацетилирования может быть оценена в 50%. α - и β -Эффектами ацетилирования в положение 2 объясняется также уменьшение интенсивности сигналов C2 и C3 остатка 6-дезокситалозы при 71,2 и 66,8 м.д. и появление сигналов при 72,6 и 65,2 м.д. соответственно [19]. Аналогичный анализ позволил локализовать вторую О-ацетильную группу в положении 4 монозамещенного остатка маннозы. Здесь эффектам О-ацетилирования соответствуют смещения сигналов C3, C4 и C5 этого остатка от 71,8; 68,5 и 73,7 к 68,2; 69,6 и 71,2 м.д. соответственно, а степень О-ацетилирования также не превышает 50%.

Провести полное отнесение в ^{13}C -ЯМР-спектре исходного полисахарида (рис. 1) затруднительно из-за его сложности, связанный, по-видимому, с присутствием четырех типов повторяющихся звеньев (не несущих О-ацетильных групп, несущих две О-ацетильные группы и несущих одну О-ацетильную группу на остатке 6-дезокситалозы или маннозы). Вывод о суммарной степени О-ацетилирования полисахарида (в среднем около одной О-ацетильной группы на повторяющееся звено) подтверждался данными ^1H -ЯМР-спектра исходного полимера, в котором суммарная интенсивность сигналов О-ацетильных групп примерно равнялась интенсивности сигнала N-ацетильной группы, ацилирующей остаток галактозамина.

Таким образом, полученные данные показывают, что О-специфический полисахарид *P. fluorescens* биовара G имеет следующую структуру:



Этот полисахарид содержит в своем составе редко встречающийся в природе моносахарид — 6-дезокси-L-талозу. Интересно, что одним из немногих других бактериальных полисахаридов, включающих в себя этот сахар, является О-специфический полисахарид *P. fluorescens*, штамм 361. Строение полисахарида этого штамма, отнесенное которого к тому или иному биовару не определено, было установлено ранее [4, 7]. За исключением присутствия 6-дезокси-L-талозы, он не имеет структурного сходства с О-специфическим полисахаридом биовара G, изученным в настоящей работе.

Экспериментальная часть

Инструментальные и хроматографические методы описаны в работах [20, 21].

Бактериальную массу выращивали как описано ранее [5]. О-Специфический полисахарид получали как в работе [20].

* Для разветвленных структур типа имеющей место в рассматриваемом случае могут наблюдаться отклонения химических сдвигов от предсказываемых правилами [17], однако для C1 гликозилирующего моносахарида такие отклонения не превышают 2 м.д.

Полный гидролиз полисахарида проводили 2 н. HCl (100° С, 3 ч) для анализа нейтральных сахаров или 6 н. HCl (100° С, 4 ч) для анализа аминосахаров.

Частичный гидролиз полисахарида (15 мг) осуществляли 1 н. трифторуксусной кислотой (100° С, 0,5 ч), продукты разделяли гель-хроматографией на колонке с гелем TSK HW 40, получали D-маннозу (2 мг), $[\alpha]_D^{27} +6^\circ$ (с 0,05, вода) ([22]: $[\alpha]_D +14,2^\circ$ (вода)); 6-дезокси-L-талозу (3 мг), $[\alpha]_D^{27} -4,5^\circ$ (с 0,05, вода) ([23]: $[\alpha]_D -18,9 \pm 2^\circ$ (вода)) и полимерную фракцию (5 мг).

Полисахарид дезацетилировали (30 мг) 3% водным раствором триэтиламина (50° С, 2 ч), упаривали, продукт (25 мг) выделяли гель-хроматографией на колонке с гелем TSK HW 40.

Метилирование полисахарида и получение ацетатов частично метилированных полиполов проводили как описано [24].

СПИСОК ЛИТЕРАТУРЫ

1. Книрель Ю. А., Танагар Н. В., Солдаткина М. А., Захарова И. Я. // Биоорган. химия. 1988. Т. 14. № 12. С. 1684–1689.
2. Palleroni N. // Bergey's manual of systematic bacteriology. V. 1 // Ed. Holt J. G. Baltimore: Williams and Wilkins, 1984. Р. 141–249.
3. Wilkinson S. G. // Surface carbohydrates of the prokaryotic cell // Ed. Sutherland I. W. L.: Acad. Press, 1977. Р. 97–176.
4. Хоменко В. А., Набережных Г. А., Исаков В. В., Соловьева Т. Ф., Оводов Ю. С., Книрель Ю. А., Виноградов Е. В. // Биоорган. химия. 1986. Т. 12. № 12. С. 1641–1647.
5. Здоровенко Г. М., Веремейченко С. Н., Захарова И. Я. // Микробиол. журн. 1987. Т. 49. № 4. С. 12–17.
6. Веремейченко С. Н. // Микробиол. журн. 1987. Т. 49. № 5. С. 18–22.
7. Набережных Г. А., Хоменко В. А., Исаков В. В., Елькин Ю. Н., Соловьева Т. Ф., Оводов Ю. С. // Биоорган. химия. 1987. Т. 13. № 10. С. 1428–1429.
8. Вестфаль О., Яин К. // Методы химии углеводов/Ред. Кочетков Н. К.: Мир, 1967. С. 325–332.
9. Bock K., Pedersen C. // Adv. Carbohydr. Chem. Biochem. 1983. V. 41. Р. 27–65.
10. Bock K., Pedersen C. // J. Chem. Soc. Perkin Trans. II. 1974. № 3. Р. 293–297.
11. Деревицкая В. А., Шашков А. С., Новикова О. С., Евстигнеев А. Ю. // Биоорган. химия. 1981. Т. 7. № 3. С. 410–421.
12. Конрад Г. Е. // Методы исследования углеводов/Ред. Хорлин А. Я. М.: Мир, 1975. С. 276–278.
13. Jansson P.-E., Kenne L., Liedgren H., Lindberg B., Lönnegren H. // Chem. Commun. Stockholm Univ. 1976. № 8. Р. 1–75.
14. Altona C., Haasnoot C. A. G. // Org. Magn. Reson. 1980. V. 13. № 6. Р. 417–429.
15. Шашков А. С. // Изв. АН СССР. Сер. хим. 1983. № 6. С. 1328–1336.
16. Lipkind G. M., Shashkov A. S., Knirel Y. A., Vinogradov E. V., Kochetkov N. K. // Carbohydr. Res. 1988. V. 175. № 1. Р. 59–75.
17. Shashkov A. S., Lipkind G. M., Knirel Y. A., Kochetkov N. K. // Magn. Reson. Chem. 1988. V. 26. № 7. Р. 735–747.
18. Klyne W. // Biochem. J. 1950. V. 46. № 4. Р. xli-xlii.
19. Jansson P.-E., Kenne L., Schweda E. // J. Chem. Soc. Perkin Trans. I. 1987. № 2. Р. 377–383.
20. Книрель Ю. А., Здоровенко Г. М., Дащунин В. М., Яковleva Л. М., Шашков А. С., Захарова И. Я., Гвоздяк Р. И., Кочетков Н. К. // Биоорган. химия. 1986. Т. 12. № 9. С. 1253–1262.
21. Книрель Ю. А., Здоровенко Г. М., Веремейченко С. Н., Липкинд Г. М., Шашков А. С., Захарова И. Я., Кочетков Н. К. // Биоорган. химия. 1988. Т. 14. № 3. С. 352–358.
22. Stanek J., Černý M., Kocourek J., Páčák J. The monosaccharides. Prague: Publishing House of the Czechoslovak Academy of Sciences, 1963. Р. 99.
23. MacLennan A. P. // Biochim. et biophys. acta. 1961. V. 48. № 3. Р. 600–603.
24. Книрель Ю. А., Шашков А. С., Дмитриев Б. А., Кочетков Н. К., Касянчук Н. В., Захарова И. Я. // Биоорган. химия. 1980. Т. 6. № 12. С. 1851–1859.

Поступила в редакцию
18.IV.1989

ANTIGENIC POLYSACCHARIDES OF BACTERIA. 36. STRUCTURAL STUDY
OF O-SPECIFIC POLYSACCHARIDE CHAIN OF THE *PSEUDOMONAS*
FLUORESCENS IMV 2763 (BIOVAR G) LIPOPOLYSACCHARIDE

KNIREL Y. A., ZDOROVENKO G. M.*, VEREMEYCHENKO S. N.*[†], SHASHKOV A. S.,
ZAKHAROVA I. Y.*[†], KOCHETKOV N. K.

*N. D. Zelinsky Institute of Organic Chemistry, Academy of Sciences of the USSR,
Moscow:*

* *D. K. Zabolotny Institute of Microbiology and Virology, Academy of Sciences
of the Ukrainian SSR, Kiev*

Chemical and serological characterization of the *Pseudomonas fluorescens* IMV 2763 (biovar G) lipopolysaccharide was carried out. The O-specific polysaccharide chain of the lipopolysaccharide is composed of *D*-mannose, 6-deoxy-*L*-talose, N-acetyl-*D*-galactosamine and O-acetyl groups in the ratio of ~2:1:1:1. The polysaccharide is branched and a half of residues of 6-deoxytalose and monosubstituted mannose carry O-acetyl groups. On the basis of methylation, partial acid hydrolysis and ¹³C NMR analysis it was concluded that the repeating unit of the polysaccharide has the following structure:

